

「次元正則化は物理か？」

《目次》

1. Dim. reg. の利点
2. Dim. reg. の問題点
3. Dim. reg. の定義と uniqueness
4. Dim. reg. を subtraction による正則化と見なす
5. Dim. reg. と cut-off reg. で同じ結果となること (regularization indep.)
6. 状況証拠

1. Dim. reg. の利点

- 多くの sym. を保つ (特に Lorentz, gauge)
- 1回の操作で全ての 積分が finite (\leftrightarrow Pauli-Villars)
UV div. と IR div. を同時に regularize.
- 様々な便利な計算テクニックが存在 (\Leftarrow 解析接続; singularity が pole)
解析計算 ... (IBP id. による) 減化式, etc.
数値計算 ... sector-decomp. + plus-distr., etc.
- loop 積分の漸近展開 \Leftrightarrow EFT との対応, 基礎づけ

:

2. Dim. reg. の問題点

- $D \notin \mathbb{N}$ では場の理論と云々 ill-defined
 - 摂動計算だけで定義するとしても、naiveには $D \notin \mathbb{N}$ での値は unique には定まらない。
 - 通常の定義に従うと、非物理的な等式が成り立つ。
(e.g. UV div. \iff IR div. cf. $\int \frac{d^D k}{(k^2)^2} = 0$)
 - 理論の UV のふるまいだけを変更したという感覚に乏しい。
Regularization indep., decoupling 定理との関連
 - $\frac{1}{\epsilon}$ は本当に UV div., IR div. を表しているのか?
naive には No. (発散していくと λ を含まない積分を書ける。)
- * 個人的には、QCD の物理量の摂動計算において、本当に short-dist. の物理を精確に計算しているのか、その保証が欲しい。

今日の目標

・摂動計算だけで定義するとしても、naive には $D \notin N$ での値は unique に定まらない。

$$\int dk_1 \dots dk_e \frac{1}{(k_1^2 + m_1^2) [(k_1 + p_1)^2 + m_2^2] (k_2 + k_3)^2 \dots}$$

これは $D \in N$ でのみ定義されている。

$$= \int dk_1 \dots dk_e \frac{1}{\Delta_1 \Delta_2 \dots \Delta_n} \quad \downarrow \quad \int_0^\infty d\alpha e^{-\alpha \Delta} = \frac{1}{\Delta}$$

$$= \int dk_1 \dots dk_e \int_0^\infty d\alpha_1 \dots d\alpha_n \exp[-(\underbrace{\alpha_1 \Delta_1 + \dots + \alpha_n \Delta_n}_{k_1, \dots, k_e の 2 次形式})]$$

$$\rightarrow \vec{k}^T A \cdot \vec{k} + \vec{J} \cdot \vec{k} + c \quad \vec{k} = \begin{pmatrix} k_1 \\ \vdots \\ k_e \end{pmatrix}$$

$$= \text{const.} \int_0^\infty d\alpha_1 \dots d\alpha_n [\det A(\alpha)]^{-D/2} \exp[J^T A' J - c]$$

ここまで $D \in N$ ↪

“Dim. reg.” : $D \notin N$ の場合も、積分が well-defined な領域では同じ式で値を定義。→ 解析接続

LHL, “dim. reg.” という言葉通りならば、一般に $D \in N$ でゼロとなる実数

$$\text{e.g. } \text{Res}(\pi D) = \frac{\pi}{\Gamma(D)\Gamma(1-D)} \text{ に比例する実数}$$

を足においてもよいたる。

勝手な計算手法を編み出したときに、 $D \notin N$ での定義と同じ値となつていいか分からない。

Regularization indep.

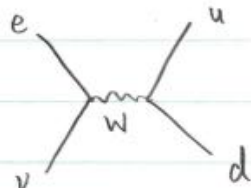
物理量の間の関係は regularization indep. になつほしい。

即ち、
 $\left\{ \begin{array}{l} \text{lattice } a \rightarrow 0 \\ \text{Pauli-Villars } \Lambda \rightarrow \infty \end{array} \right.$

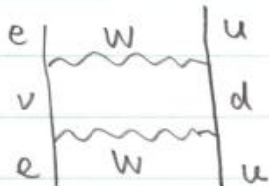
としたときに、同じ関係式を得ると期待する。

(物理的背景)

Decoupling 定理 (Appelquist, Carazzone)



重い粒子の効果は $O(\frac{E^2}{M_w^2})$



Regularization \Leftrightarrow 理論のUVの構造のみ変える。

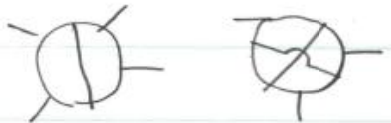
$\Lambda \rightarrow \infty$ \Rightarrow decouple

* Dim. reg. は 理論の UV の構造のみを 変えたことになっているのか？

3. Dim. reg. の定義と uniqueness

(その1) 具体的な定義を与える方法 (Euclidean)

- Massless detachable subgraph を含まない場合



$$\int d^D k_1 \dots d^D k_n \frac{1}{\Delta_1 \dots \Delta_n} = \pi^{D/2} \int_0^\infty dx_1 \dots dx_n (\det A)^{-D/2} \exp[J A^\dagger J - C]$$

- Massless detachable subgraph を含む場合



$$\underbrace{\int d^D k_1 \frac{1}{(k_1^2)^a}}_{\substack{\parallel \\ 0}} \times \int d^D k_2 \dots d^D k_n \frac{1}{\Delta_1 \dots \Delta_n} = 0.$$

\uparrow indep. of k ,

上がその具体例となる。

(その2) 公理論的構成法 (Euclidean)



以下の性質を満たす consistent な積分が存在すれば、それは unique である。

(1) 線形性

$$\int d^D k [af(k) + bg(k)] = a \int d^D k f(k) + b \int d^D k g(k)$$

(2) スケーリング

$$\int d^D k f(\alpha k) = \alpha^{-D} \int d^D k f(k)$$

(3) 並進対称性・回転対称性

$$\int d^D k f(k+p) = \int d^D k f(k), \quad \int d^D k f(Rk) = \int d^D k (Rf)(k)$$

(4) 規格化 $\int d^D k d^D p \exp(-k^2 - p^2) = \int d^{D+D} k \exp(-k^2)$

$D \in \mathbb{N}$ では通常の積分と一致

Rem

- Euclidean では D の meromorphic fn. (有理型関数) であることを示せる。
極以外の特異性をもたない解析関数

- Minkowski でも実用上問題が生じたことはない。

→ 被積分関数の関数基底

- (その2) の証明: 線形写像なので、ある basis の変換先が unique に決まればよい。basis と $\{f_{s,g}(k) = \exp[-s^2(k+g)^2]\}$ を選ぶ。

すると、

$$\int d^D k f_{s,g}(k) = s^{-D} \int d^D k \exp(-k^2) = \pi^{D/2} s^{-D}$$

↑
(4)

- $\int d^D k f(k+p) = \int d^D k f(k)$ なり。

$$\int d^D k \frac{\partial}{\partial k^\mu} f(k) = 0$$

finite な積分の場合は
確かに成り立つ。

$$\int d^D k \exp(-k^2) = e^{F(D)} \text{ とおくと } F(D) + F(D') = F(D+D')$$

$$D' = 0 \text{ とおくと } F(0) = 0$$

$$\text{また, } F'(D) = \lim_{D' \rightarrow 0} \frac{F(D+D') - F(D)}{D'} = \lim_{D' \rightarrow 0} \frac{F(D')}{D'} = F'(0) = \text{indep. of } D.$$

$$\therefore F(D) = \text{const.} \times D \Rightarrow e^{F(D)} = C^D$$

$$D=1 \text{ の積分値から, } C=\sqrt{\pi}$$

4. Dim. reg. to subtractionによる正則化を見なす

先程の定義を念頭に置きつつも見方を変える。

以下 $0 < \epsilon \ll 1$ とする。 ($D = 4 - 2\epsilon$)

★ dim reg. ではどんな積分にも finite 値を assigns。



元々発散している積分の場合、何分“無限大”を subtract している筈。

(例) $\int d^D k \frac{1}{(k^2 + m^2)^2} = \int d^D k \frac{1}{(k^2 + m^2)^2} - \text{const.} \times \underbrace{\int d^D k \frac{\partial}{\partial k^\mu} \frac{k^\mu}{(k^2 + M^2)^2}}_{||}$

$\frac{\partial}{\partial k^\mu} \frac{k^\mu}{(k^2 + M^2)^2} = \frac{D}{(k^2 + M^2)^2} + k^\mu \frac{-2}{(k^2 + M^2)^3} 2k^\mu$

 $= \frac{D}{(k^2 + M^2)^2} + \frac{-4[(k^2 + M^2) - M^2]}{(k^2 + M^2)^3}$
 $= \frac{D-4}{(k^2 + M^2)^2} + \frac{4M^2}{(k^2 + M^2)^3}$

const. = $\frac{1}{D-4}$ とし $0 = \int d^D k \left[\frac{1}{(k^2 + M^2)^2} + \frac{4M^2}{D-4} \frac{1}{(k^2 + M^2)^3} \right]$ を引く。

$= \int d^D k \left[\frac{1}{(k^2 + m^2)^2} - \frac{1}{(k^2 + M^2)^2} \right] + \underbrace{\frac{4M^2}{D-4} \int d^D k}_{\sim \frac{1}{k^6}} \frac{1}{(k^2 + M^2)^3} \sim \underbrace{\frac{1}{k^6}}_{\sim \frac{1}{k^6}}$

$= \frac{1}{\epsilon} \times (D \rightarrow 4 \text{ で finite 値積分})$

元々発散している積分は $\int d^D k \frac{\partial}{\partial k^\mu} [\square] = 0$ を引いて、finiteな積分で置き換えていると考えられる。(但し、係数に ϵ が現れ得る。)
UVの構造だけを変えているわけではない。

$$\text{Rem} \quad 0 = \int d^D k \frac{\partial}{\partial k^\mu} \left[\frac{k^\mu}{(k^2)^n} \right] = \int d^D k \frac{D-2n}{(k^2)^n}$$

$$\therefore \int d^D k \frac{1}{(k^2)^n} = 0.$$

5. Dim. reg. と cut-off reg. で同じ結果となること。

$$\text{Cut-off reg.} = \begin{cases} \text{Pauli-Villars} \\ (\text{L} \rightarrow \infty \text{ の) lattice} \\ \text{Heat kernel} \quad \frac{1}{p^2+m^2} \rightarrow \frac{K(\vec{p}/\Lambda^2)}{p^2+m^2} \end{cases}$$

2つの observation を使う。

① Cut-off reg. でも $\int d^D k \frac{\partial}{\partial k^\mu} [\square] = 0$ が成り立つ。

② Cut-off reg. でのくりこみ可能性の証明が存在する。

中理論 Polchinski NPB231 (1984) 269

ゲージ理論 Warr Ann. Phys. (NY) 183 (1988) 1

⋮

Dim. reg. と cut-off reg. の両方を同時に用いて、ある observable A を
摂動計算して、くりこまれた coupling で表す。Counter term は全て
運動量積分で表しておく。

UV div. は ① $\int d^D k \frac{\partial}{\partial k^\mu} \square = 0$ の形で subtract して、全 $\epsilon \{ \epsilon \rightarrow 0 \}_{\Lambda \rightarrow \infty}$
finite となる積分で表す。^{*}

$$A(D, \Lambda) = \sum_l g^{2l} \underbrace{\int d^D k_1 \dots d^D k_e f(k_1, \dots, k_e; D, \Lambda)}_{\{ \epsilon \rightarrow 0 \}_{\Lambda \rightarrow \infty} \text{ で finite な積分}} \quad \text{②}$$

$\epsilon \rightarrow 0, \Lambda \rightarrow \infty$ の極限が交換すればよい。

積分を極座標で実行する。(cf. real emission の計算)

$$\int_0^\infty dk_1 \dots dk_e \frac{K(k/\Lambda)}{k_1^{2+\epsilon} k_2^{2+\epsilon} \dots} \quad \begin{array}{l} \uparrow \quad \uparrow \\ \text{動径変数} \end{array} \quad \begin{array}{l} K(k/\Lambda) \dots \\ k_1^{2+\epsilon} k_2^{2+\epsilon} \dots \\ \epsilon = 0, \Lambda = \infty \text{ のとき} \\ k \rightarrow \infty \text{ で絶対収束} \end{array}$$

* このアルゴリズムを十分一般的な場合に構成できれば、証明が成立する。

次のようにすればよいだろう。まず $\Lambda \rightarrow \infty$ の場合にアルゴリズムを構成する。 $\Lambda < \infty$ の場合には、余分に $\frac{\partial}{\partial k^\mu} K(k, \Lambda)$ の部分が残るが、その support は有界。その寄与も Λ が大きいときに bound がつく。

6. 狀況証拠



ELSEVIER

27 June 1996

PHYSICS LETTERS B

Physics Letters B 379 (1996) 283–291

The analytical value of the electron ($g - 2$) at order α^3 in QED

S. Laporta¹, E. Remiddi²

Dipartimento di Fisica, Università di Bologna, and INFN, Sezione di Bologna, Via Irnerio 46, I-40126 Bologna, Italy

Received 15 February 1996

Editor: R. Gatto

Abstract

We have evaluated in closed analytical form the contribution of the three-loop non-planar “triple-cross” diagrams contributing to the electron ($g-2$) in QED; its value, omitting the already known infrared divergent part, is

$$a_e(3 - \text{cross}) = \frac{1}{2}\pi^2\zeta(3) - \frac{55}{12}\zeta(5) - \frac{16}{135}\pi^4 + \frac{32}{3}\left(a_4 + \frac{1}{24}\ln^4 2\right) + \frac{14}{9}\pi^2\ln^2 2 - \frac{1}{3}\zeta(3) + \frac{23}{3}\pi^2\ln 2 - \frac{47}{9}\pi^2 - \frac{113}{48}.$$

This completes the analytical evaluation of the ($g-2$) at order α^3 , giving

$$a_e(3 - \text{loop}) = \left(\frac{\alpha}{\pi}\right)^3 \left\{ \frac{83}{72}\pi^2\zeta(3) - \frac{215}{24}\zeta(5) + \frac{100}{3}\left[\left(a_4 + \frac{1}{24}\ln^4 2\right) - \frac{1}{24}\pi^2\ln^2 2\right] - \frac{239}{2160}\pi^4 + \frac{139}{18}\zeta(3) - \frac{298}{9}\pi^2\ln 2 + \frac{17101}{810}\pi^2 + \frac{28259}{5184} \right\} = \left(\frac{\alpha}{\pi}\right)^3 (1.181241456\dots).$$

PACS: 12.20Ds; 13.40.Em; 06.20.Jr; 12.20Pv

Keywords: Quantum electrodynamics; Anomalous magnetic moment of the electron; Analytical evaluation of 3-loop radiative corrections

Following the work of Ref. [1] we have completed the evaluation in close analytical form of the contribution to the electron anomaly in three-loop QED due to the triple-cross graphs depicted in Fig. 1.

The results are

$$a_e(3 - \text{cross}; 1a) = \frac{215}{24}\zeta(5) - \frac{1}{3}\pi^2\zeta(3) - \frac{53}{2160}\pi^4 + 4\left[\left(a_4 + \frac{1}{24}\ln^4 2\right) - \frac{1}{24}\pi^2\ln^2 2\right] - \frac{1229}{144}\zeta(3) - \frac{7}{6}\pi^2\ln 2 + \frac{4165}{2592}\pi^2 - \frac{515}{864} + \frac{1}{2}\ln \lambda = 1.285068495\dots + \frac{1}{2}\ln \lambda, \quad (1)$$

$$a_e(3 - \text{cross}; 1b) = -\frac{275}{24}\zeta(5) + \frac{29}{36}\pi^2\zeta(3) + \frac{43}{1080}\pi^4 - \frac{5}{6}\pi^2\ln^2 2 + \frac{623}{144}\zeta(3) + \frac{35}{9}\pi^2\ln 2 - \frac{1951}{648}\pi^2 - \frac{493}{864} = -0.878968171\dots, \quad (2)$$

¹ E-mail: laporta@bo.infn.it.

² E-mail: remiddi@bo.infn.it.

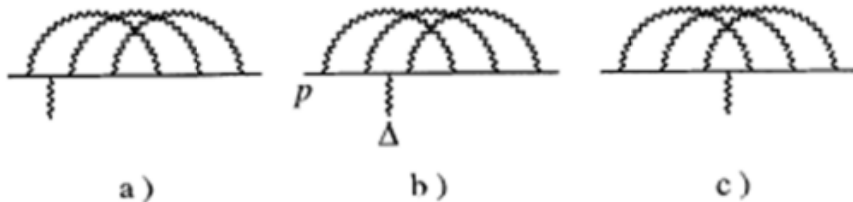


Fig. 1. The "triple-cross" graphs.

$$a_e(3\text{-cross; } 1c) = \frac{5}{12}\zeta(5) - \frac{4}{9}\pi^2\zeta(3) - \frac{161}{1080}\pi^4 + \frac{8}{3}\left(a_4 + \frac{1}{24}\ln^4 2\right) + \frac{32}{9}\pi^2\ln^2 2 + \frac{97}{12}\zeta(3) \\ + \frac{20}{9}\pi^2\ln 2 - \frac{1043}{432}\pi^2 - \frac{1}{48} = -0.026799490\dots, \quad (3)$$

from which

$$a_e(3\text{-cross}) = 2a_e(3\text{-cross; } 1a) + 2a_e(3\text{-cross; } 1b) + a_e(3\text{-cross; } 1c) = \frac{1}{2}\pi^2\zeta(3) - \frac{55}{12}\zeta(5) \\ - \frac{16}{135}\pi^4 + \frac{32}{3}\left(a_4 + \frac{1}{24}\ln^4 2\right) + \frac{14}{9}\pi^2\ln^2 2 - \frac{1}{3}\zeta(3) + \frac{23}{3}\pi^2\ln 2 - \frac{47}{9}\pi^2 - \frac{113}{48} + \ln \lambda \\ = 0.785401156\dots + \ln \lambda. \quad (4)$$

As it is customary in this kind of calculations, λ is the regularizing photon mass (in electron mass units), $\zeta(p) = \sum_{n=1}^{\infty} 1/n^p$, $\zeta(2) = \pi^2/6$, $a_4 = \sum_{n=1}^{\infty} \frac{1}{2^n n^4}$.

The above results are in excellent agreement with the numerical results

Photon mass

$$a_e(3\text{-cross; } 1a; \text{Ref. [2]}) = 1.291(7), \quad a_e(3\text{-cross; } 1b; \text{Ref. [2]}) = -0.882(10), \quad \text{Pauli-Villars reg.} \\ a_e(3\text{-cross; } 1c; \text{Ref. [2]}) = -0.021(100), \quad a_e(3\text{-cross; Ref. [3]}) = 0.785419(40).$$

where the $\ln \lambda$'s are understood. As the previous graphs were the last graphs for which the analytical value of the anomaly was still missing, on account the previously known results [4–7] the complete analytical expression of the anomaly in three-loop QED can now be written as

$$a_e(3\text{-loop}) = \left(\frac{\alpha}{\pi}\right)^3 \left\{ \frac{83}{72}\pi^2\zeta(3) - \frac{215}{24}\zeta(5) + \frac{100}{3} \left[\left(a_4 + \frac{1}{24}\ln^4 2\right) - \frac{1}{24}\pi^2\ln^2 2 \right] - \frac{239}{2160}\pi^4 \right. \\ \left. + \frac{139}{18}\zeta(3) - \frac{298}{9}\pi^2\ln 2 + \frac{17101}{810}\pi^2 + \frac{28259}{5184} \right\} = \left(\frac{\alpha}{\pi}\right)^3 (1.181241456\dots). \quad (5)$$

By using the best numerical value of $a_e(4\text{-loop}) = -1.557(70)$, Ref. [8], and

$$1/\alpha = 137.0359979(32),$$

Ref. [9], one finds

$$a_e(\text{th}) = 1159652201.2(2.1)(27.1) \times 10^{-12}, \quad (6)$$

(where the first error comes from $a_e(4\text{-loop})$, the second from α), to be compared with the experimental value, Ref. [10].

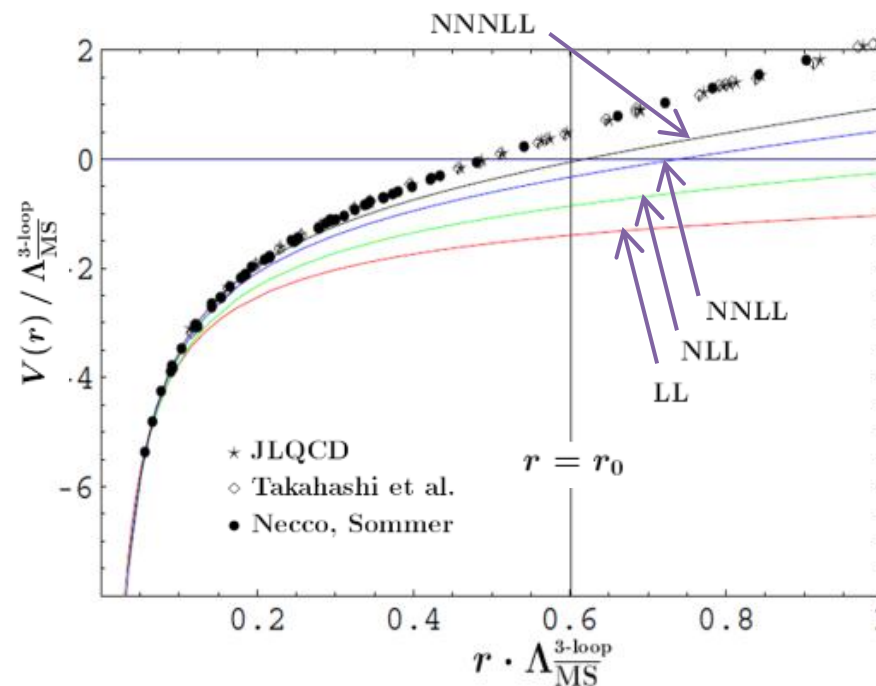
$$a_e(\text{exp}) = 1159652188.4(4.3) \times 10^{-12};$$

Interquark force

$$\begin{aligned} F(r) &\equiv -\frac{d}{dr}V_{\text{QCD}}(r) \\ &\equiv -C_F \frac{\alpha_F(1/r)}{r^2}. \end{aligned}$$

Renormalization-group equation: $\mu^2 \frac{d}{d\mu^2} \alpha_F(\mu) = \beta_F(\alpha_F)$

\implies Due to the running of $\alpha_F(1/r)$, the attractive force $|F(r)|$ increases at large r .





Our building (outside)



One of our rooms



The runway of Sendai Airport littered with the debris of cars, planes and houses as a result of the tsunami, Iwanuma City (March 11, 4:00 pm).